

А. Т. Мингазин

УДК 621.372.54.037.372

Разрядность коэффициентов рекурсивных цифровых фильтров при упрощенном методе синтеза

Рассмотрена задача определения разрядности коэффициентов рекурсивных цифровых фильтров; показано, что при использовании наиболее распространенного в инженерной практике упрощенного подхода к решению этой задачи, разрядность коэффициентов может быть сильно завышена.

Важным этапом проектирования цифровых фильтров (ЦФ) является определение разрядности двоичных коэффициентов передаточной функции, которую желательно минимизировать. Для этого, применительно к рекурсивным избирательным ЦФ, можно использовать методы синтеза передаточных функций при ограниченной разрядности коэффициентов [1—8]. Однако в инженерной практике применяется упрощенный подход [9, 10], заключающийся в нахождении коэффициентов с высокой точностью (по данным, имеющимся в справочниках по расчету фильтров или выбранным, руководствуясь опытом проектирования) и последующим их округлении до минимальной разрядности, при которой еще удовлетворяются требования к характеристике затухания. Покажем, что при использовании такого подхода разрядность коэффициентов может быть сильно завышена.

В табл. 1 приведены шесть вариантов требований к граничным частотам характеристики затухания ЦФ низких частот при $\Delta a_{\max} = 0,3$ дБ, $a_0 \min = 40$ дБ. Каждому из вариантов удовлетворяет эллиптический ЦФ четвертого порядка, полученный методом билинейного z -преобразования аналогового фильтра — прототипа. Если в качестве исходных параметров для расчета ЦФ задаться граничными частотами полос пропускания и задерживания $\omega_1 = \omega_{1\min}$ и $\omega_2 = \omega_{2\max}$, то исходный параметр Δa — неравномерность характеристики затухания в полосе пропускания — может быть выбран любым из диапазона $\Delta a_{\min} \leq \Delta a \leq \Delta a_{\max}$ (в данном случае $\Delta a_{\min} \approx 0,07$ дБ, так как $\operatorname{tg}(\omega_{2\max}/2)/\operatorname{tg}(\omega_{1\min}/2) \approx 2$ для всех шести ЦФ). Расчет ЦФ при $\Delta a < \Delta a_{\min}$ привел бы к характеристике с минимальным затуханием в полосе задерживания $a_0 < a_{0\min} = 40$ дБ.

Число интервалов в указанном диапазоне Δa , для которых можно рассчитать различные передаточные функции с коэффициентами ограниченной разрядности, конечно [8], т. е. имеется конечное число возможных решений. При достаточной разрядности коэффициентов часть этих решений (допустимые решения) будет удовлетворять заданным требованиям к характеристике затухания ЦФ. На рис. 1 представлены зависимости P (число допустимых решений/число возможных решений) от M (разрядность дробной части коэффициентов) для всех шести ЦФ каскадной формы. Из рассмотрения зависимостей следует, что всегда имеется возможность получения недопустимых решений даже при больших M , в особенности для ЦФ с низкими $\omega_{1\min}$.

По рис. 1 для всех вариантов ЦФ можно определить минимальные значения M , которые соответствуют методу минимизации M , основанному на оптимальном выборе исходной Δa (частный случай метода [8]). Эти значения M , а также полученные упрощенным методом при $\Delta a = 0,1$ дБ, $\Delta a = 0,28$ дБ (для этих Δa имеются расчетные таблицы в [11]) и $\Delta a = \Delta a_{\min}$ (как рекомендовано в [9]) представлены в табл. 2.

Сопоставление данных табл. 2 свидетельствует о том, что упрощенный метод в сравнении с методом оптимального выбора Δa может приводить как к аналогичным, так и к сильно завышенным M (например, в 2 и в 2,4 раза при $\Delta a = 0,1$ дБ и $\Delta a = 0,28$ дБ для варианта 3), что и требовалось показать. Интересно, что использование начальных приближений [12] и вариации ω_1 и ω_2 , наряду с Δa , позволило уменьшить M , полученное оптимальным выбором Δa , лишь для варианта 4 и только на 1 бит.

Таблица 1

Варианты $\omega_{1\min}/(2\pi)$	$\omega_{2\max}/(2\pi)$
1	0,0125
2	0,025
3	0,05
4	0,1
5	0,25
6	0,45

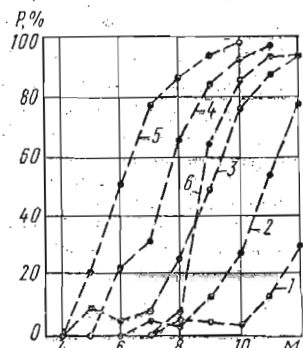


Рис. 1

Таблица 2

Метод выбора Δa	Разрядность M для вариантов					
	1	2	3	4	5	6
Оптимальный	8	7	5	6	5	8
Упрощенный	0,1	12	10	10	6	5
	0,28	16	13	12	11	7
	Δa_{\min}	12	11	8	8	12

На рис. 2, а—в представлены распределения допустимых решений по Δa в диапазоне $\Delta a_{\min} \dots \Delta a_{\max}$ при различных M (а — вариант 1; б — вариант 4; в — вариант 6). По осям ординат отложено P' — отношение числа допустимых решений к числу возможных решений, приходящееся на интервал $(\Delta a_{\max} - \Delta a_{\min})/10$. Возможное завышение M , свойственное упрощенному подходу, легко объясняется характером

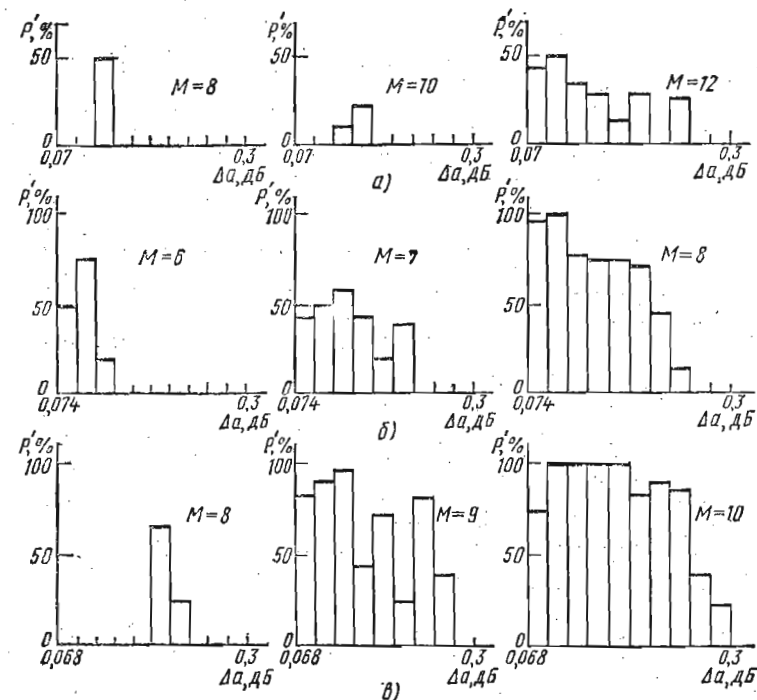


Рис. 2

этих распределений. В самом деле, если Δa выбирается произвольно, как в упрощенном подходе, то достаточную гарантию получения допустимого решения можно дать лишь при больших M . Как видим, процесс увеличения числа допустимых решений с ростом M на рис. 2, а, б является более медленным, чем на рис. 2, в, т. е. более медленным для ЦФ с низкими $\omega_{1\min}$ (это также следует из поведения кривых 1—3 на рис. 1). Поэтому для этих ЦФ упрощенный подход, как правило, приводит к большему завышению M (см. табл. 2, например, для вариантов 1 и 6 при $\Delta a = 0,28$ дБ). Из рис. 2, а—в видно, что по мере роста M допустимые решения в большей степени группируются со стороны малых Δa , поэтому (см. табл. 2) для $\Delta a = 0,1$ дБ и $\Delta a = \Delta a_{\min}$ почти для всех вариантов (исключением является вариант 6 при $\Delta a = \Delta a_{\min}$) получены меньшие M , чем при $\Delta a = 0,28$ дБ. Согласно рис. 2, а—в, табл. 1 и 2 для ЦФ с низкими и средними $\omega_{1\min}$ выбор $\Delta a = \Delta a_{\min}$ является предпочтительнее выбора Δa в окрестности $\Delta a = \Delta a_{\max}$, но не является таковым для других Δa .

В общем случае характер распределений, подобных приведенным на рис. 2, а—в, будет зависеть от структуры и типа ЦФ, от требований к характеристике затухания и вида ее аппроксимации. В связи с этим следует аккуратно применять упрощенный метод синтеза ЦФ, который не позволяет строго учесть особенности конкретного проектирования и поэтому не дает гарантии в том, что разрядность коэффициентов не будет сильно завышена, особенно когда расчет выполняется для одного набора исходных параметров.

Литература

1. Эвенхайз. Зарубежная радиоэлектроника, 1973, № 8.
2. Boite R., Dules H., Leich H. Electronics Letters, 1974, v. 10, № 10.
3. Ланэ А. А., Шекопляс Г. Б. Теоретическая электротехника, 1978, № 24.
4. Brglez F. IEEE Trans., 1978, CAS-25, № 12.
5. Kwan H.-K. IEEE Trans., 1979, ASSP-27, № 6, Part 1.
6. Жуков С. Г. Радиотехника, 1980, т. 35, № 4.
7. Ishii R. The Transactions of the Institute of Electronics Communication Engineers of Japan, 1982, т. 65-A, № 1.
8. Магазин А. Т. Электросвязь, 1983, № 7.
9. Antoniou A., Charalambous C., Motamed Z. IEEE Trans., 1983, CAS-30, № 3.
10. Справочник: Цифровая обработка сигналов / Гольденберг Л. М., Матюшкин Б. Д., Поляк М. Н. — М.: Радио и связь, 1985.
11. Христиан Э., Эйзенман Е. Таблицы и графики по расчету фильтров. — М.: Связь, 1975.
12. Магазин А. Т. Электронная техника, 1983, сер. 10, № 6.

Поступила после доработки 11 мая 1986 г.



ДЕПОНИРОВАННАЯ КНИГА

В. С. Самойлов, И. А. Воробьева,
В. Б. Грузиненко

УДК 621.372.412

Элементы теории низкочастотных пьезоэлектрических резонаторов

Пьезоэлектрические кристаллические резонаторы относятся к основным элементам, определяющим характеристики многочисленных систем связи. Их высокая стабильность и добротность позволили, например, создать системы беспроводной и бесподстроечной радиосвязи, обеспечили надежность космической связи, а также управление космическими объектами и т. д.

Дальнейшее развитие многих отраслей современной техники связано с получением стабильных частот, выделением полезных сигналов и подавлением помех. В связи с этим требования к надежной и устойчивой работе пьезоэлектрических генераторов и фильтров в широких интервалах температур и при жестких внешних воздействиях непрерывно возрастают. Решение возникающих проблем требует больших усилий со стороны разработчиков, а исследования становятся все более длительными и дорогостоящими, нуждающимися в сложном оборудовании. Значительно уменьшить объем необходимых исследований можно, используя современные быстродействующие ЭВМ, позволяющие заменить ряд экспериментальных исследований теоретическими. К сожалению, число разработчиков, достаточно полно владеющих современной теорией пьезоэлектрических устройств, невелико. Это объясняется прежде всего ее сложностью и отсутствием публикаций, в которых основные положения были бы изложены систематически и последовательно.

В работе основное внимание уделено общим положениям теории. Что же касается вопросов ее конкретных приложений к пьезоэлектрическим резонаторам, то здесь рассмотрены лишь простейшие из них — низкочастотные.

В первой главе выведены уравнения механического и электрического состояний, кратко описаны свойства пьезоэлектриков. Уравнению механического состояния предшествует определение тензоров механических напряжений и деформаций, пояснение их физического смысла. Прослежена связь между ними, описываемая обобщенным законом Гука, учитывающим анизотропию упругих свойств. Выведено уравнение динамического упругого равновесия и механических граничных условий:

$$\partial T_{ij}/\partial x_i = \rho \partial^2 U_i / \partial t^2,$$

где T_{ij} и U_i — компоненты тензора механических напряжений и вектора механических перемещений; ρ — плотность материала; t — время; x_i — прямоугольные координаты.

При выводе уравнений электрического состояния использовано определение понятий электрического поля, потенциала, векторов напряженности и индукции. В итоге получено уравнение Пуассона и электрических граничных условий: $\Delta \Phi = -\rho V$, где $\Delta =$